

I - 1 弾性基礎上のはりの曲げ板じれ3連モーメント式

大阪市大 正員 倉田 宗 草
明石高専 正員 高端 宏 直

要旨 弾性基礎上のはり(折れたはりも含む)の曲げ板じれについて階段的に断面および基礎係数が変化し支承の沈下を考慮した一般的な3連モーメント式を説明し計算例をあげた。

1. 3連モーメント式の説明

図-1のような水平面内で折れた連続はりを考える。各スパン毎に拘束して不確定力として M_r , M_s , S_r^2 を選びやめだわが、左の角度および板

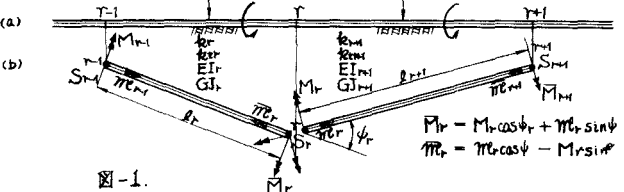


図-1.

「直角の連続条件より表-1[(1)式]に示すような連立方程式をうる。

表-1. γ 点における3連モーメント式係数表

右辺	$M_{r,1}$	$M_{r,r}$	$M_{r,T+1}$	$M_{r,1}$	M_r	$M_{r,T+1}$	$S_{r,1}$	S_r	$S_{r,r}$
$\gamma_{r,r} = \gamma_r$	$\text{decoch } S_r$ $- \sin' \coth S_r \cos \psi_r$ $- \sin' \coth S_{r,r}$	$\sin' \cosech S_r \cos \psi_r$	—	$-\sin' \coth S_r \sin \psi_r$	$-\sin' \cosech S_r \sin \psi_{r,r}$	—	—	—	$S_{r,r} - S_r$
$\gamma_r = \gamma_{r,r}$	—	$-\frac{\lambda_r^2}{k_r} A_r \sin \psi_r$	$-\frac{2\lambda_{r,r}^2}{k_{r,r}} b_{r,r} \sin \psi_{r,r}$	$\frac{2\lambda_r^2}{k_r} b_r$	$-\frac{\lambda_r^2}{k_r} A_r \cos \psi_r + \frac{\lambda_{r,r}^2}{k_{r,r}} b_{r,r} \cos \psi_{r,r}$	$-\frac{2\lambda_{r,r}^2}{k_{r,r}} b_{r,r} \cos \psi_{r,r}$	$\frac{\lambda_r^2}{k_r} f_r + \frac{\lambda_{r,r}^2}{k_{r,r}} f_{r,r}$	$\frac{\lambda_{r,r}^2}{k_{r,r}} f_{r,r}$	$\frac{S_{r,r} - S_r}{2}$
$\theta_r = \theta_{r,r}$	—	$-2\frac{\lambda_r^2}{k_r} C_r \sin \psi_r$	$\frac{\lambda_{r,r}^2}{k_{r,r}} C_{r,r} \sin \psi_{r,r}$	$\frac{2\lambda_r^2}{k_r} C_r$	$-2\frac{\lambda_r^2}{k_r} C_r \cos \psi_r + \frac{2\lambda_{r,r}^2}{k_{r,r}} C_{r,r} \cos \psi_{r,r}$	$\frac{2\lambda_{r,r}^2}{k_{r,r}} C_{r,r} \cos \psi_{r,r}$	$\frac{\lambda_r^2}{k_r} C_r \cos \psi_{r,r}$	$\frac{\lambda_r^2}{k_r} A_r - \frac{\lambda_{r,r}^2}{k_{r,r}} A_{r,r}$	$\frac{B_{r,r} - B_r}{2}$

ここで $\delta_r = \theta_r l_r$, $\alpha_r = \psi_r / k_{r,r}$, $S_{r,r}, S_r, B_{r,r}, B_r$ はそれぞれ $r+1$ スパンの外力による自由端(右端)の値である。-----(1)

$$A_r = (\sinh^2 \psi_r + \sin^2 \psi_r) / L_r, \quad b_r = \sinh \psi_r \sin \psi_r / L_r, \quad \alpha_r = (\sinh \psi_r \coth \psi_r \pm \sin \psi_r \operatorname{coth} \psi_r) / L_r, \quad f_r = (\sinh \psi_r \coth \psi_r \pm \sin \psi_r \operatorname{coth} \psi_r) / L_r,$$

$$L_r = \sinh \psi_r - \sin \psi_r, \quad \psi_r = \lambda_r l_r$$

この上で式において折れ角 $\psi = 0$ すなわち直ぐはりの場合を(2)式で示し、支承沈下量が既知の場合(図-2)を(3)式で示した。

$$\begin{aligned} M_{r,1} \sin' \cosech S_r - M_r (\sin' \coth S_r + \sin' \coth S_{r,r}) + M_{r,r} \sin' \cosech S_{r,r} &= S_{r,r} - S_r \\ M_{r,1} \frac{2\lambda_r^2}{k_r} b_r - M_r \left(\frac{\lambda_r^2}{k_r} A_r - \frac{\lambda_{r,r}^2}{k_{r,r}} b_{r,r} \right) - M_{r,r} \frac{2\lambda_{r,r}^2}{k_{r,r}} b_{r,r} - S_{r,r} \frac{\lambda_r^2}{k_{r,r}} d_r + S_r \left(\frac{\lambda_r^2}{k_r} f_r + \frac{\lambda_{r,r}^2}{k_{r,r}} f_{r,r} \right) - S_{r,r} \frac{\lambda_{r,r}^2}{k_{r,r}} d_{r,r} &= \frac{S_{r,r} - S_r}{2} \\ M_{r,1} \frac{2\lambda_r^2}{k_r} C_r - 2M_r \left(\frac{\lambda_r^2}{k_r} E_r + \frac{\lambda_{r,r}^2}{k_{r,r}} G_{r,r} \right) + M_{r,r} \frac{2\lambda_{r,r}^2}{k_{r,r}} C_{r,r} + S_{r,r} \frac{2\lambda_{r,r}^2}{k_{r,r}} b_r + S_r \left(\frac{\lambda_r^2}{k_r} A_r - \frac{\lambda_{r,r}^2}{k_{r,r}} A_{r,r} \right) - S_{r,r} \frac{2\lambda_{r,r}^2}{k_{r,r}} b_{r,r} &= \frac{B_{r,r} - B_r}{2} \end{aligned} \quad \left. \begin{array}{l} \\ \\ \end{array} \right\} \quad (2)$$

$$M_{r,1} \frac{\lambda_r^2}{k_r} t_r + M_r \left(\frac{\lambda_r^2}{k_r} S_r + \frac{\lambda_{r,r}^2}{k_{r,r}} S_{r,r} \right) + M_{r,r} \frac{\lambda_{r,r}^2}{k_{r,r}} t_{r,r} = \frac{B_{r,r} - B_r}{2} + \frac{B_r - B_{r,r}}{2} \quad (3)$$

$$t_r = \frac{(\cosh \psi_r \sinh \psi_r - \cosh \psi_r \sin \psi_r) / N_r}{N_r}, \quad t_{r,r} = (\cosh \psi_r \sinh \psi_r - \sinh \psi_r \cos \psi_r) / N_r, \quad N_r = \cosh \psi_r - \cos \psi_r, \quad B_r = \frac{\Delta_r - \Delta_{r,r}}{l_r}.$$

つぎに中间において地盤よりの抵抗が消失するような特別の場合を考える。相鄰れる3スパンをとり、中央スパンに対する地盤の基礎係数 $k_{r,r}$ 、ねじれ抵抗係数を γ_r として3連モーメント式を

(1) 使用記号 P : 集中荷重(kg) M_r : トルク(kg-m) M : 曲げモーメント(kg-cm) S : せん断力(kg) y :たわみ(cm)

ψ :ねじれ角 θ :たわみ角 α_r , $\alpha_{r,r}$:基礎のばね常数(kg/cm) およびねじれ抵抗係数(kg/cm) EI , GJ ; はりの曲げ刚さとねじれ刚さ(kg-cm²) x , b , a , L :長さ(cm) Δ :支承沈下量(cm) ψ :はりの折れ角 $\lambda = \sqrt{k_r/EI}$, $\alpha = \sqrt{k_r/GJ}$.

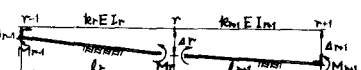


図-2

算くと 1) $k_{RH}=0$ の場合: (4)式 [図-3(a)参照]

2) $k_{RH}=0$ の場合; (5)式 [表-2, 図-3(b)参照]

となる

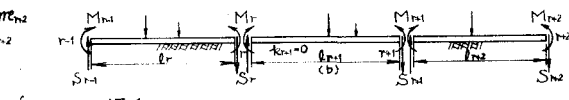
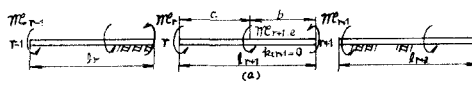


図-3 $k_{RH1}=0, k_{RH2}=0$ の場合

$$M_{r1} \cdot d \operatorname{cosech} S_r = M_r \left(k_r \operatorname{coth} S_r - \frac{a_r}{GJ_r} \right) - M_{r2} \left(k_{r2} \operatorname{coth} S_{r2} - \frac{a_r}{GJ_{r2}} \right) + M_{r3} \operatorname{d} \operatorname{cosech} S_{r3} = g_{r1} - S_r, \quad -M_r + M_{r3} = M_{r3} c \quad \cdots \cdots (4)$$

表-2 $k_{RH1}=0$ のときの3連モーメント係数表

M_{r1}	M_r	M_{r+1}	M_{r+2}	S_{r1}	S_r	S_{r+1}	S_{r+2}	右辺
$\frac{2\lambda_r^2}{R_r} C_r + \frac{\lambda_r^2 b_r}{k_{R1} k_{R2}}$	$\frac{2\lambda_r^2}{R_r} C_r + \frac{b_r}{6E_{R1}} - \frac{\lambda_r^2 a_r}{k_{R1} k_{R2}}$	$-\frac{b_r}{12E_{R1}} + \frac{\lambda_r^2 a_r}{k_{R1} k_{R2}}$	$-\frac{2\lambda_{r+1}^2 b_r}{k_{R1} k_{R2}} - \frac{\lambda_r^2 a_r}{k_{R1} k_{R2}}$	$\frac{2\lambda_r^2}{R_r} b_r - \frac{\lambda_r^2 a_r}{k_{R1} k_{R2}}$	$\frac{\lambda_r^2 a_r + \lambda_r^2 f_r}{R_r k_{R1} k_{R2}}$	$\frac{\lambda_{r+1}^2 f_{r+2}}{R_r k_{R1} k_{R2}}$	$-\frac{\lambda_{r+2}^2 a_{r+2}}{R_r k_{R1} k_{R2}}$	$\frac{g_{r1}-S_r}{2} - \frac{g_{r3}-S_r}{2}$
\oplus	$\frac{2\lambda_r^2}{R_r} b_r$	$\frac{b_r}{12E_{R1}} + \frac{\lambda_r^2 a_r}{k_{R1} k_{R2}}$	$\frac{b_r}{6E_{R1}} + \frac{2\lambda_{r+1}^2 b_r}{k_{R1} k_{R2}}$	$\frac{\lambda_r^2 a_r}{k_{R1} k_{R2}}$	$-\frac{\lambda_r^2 f_r}{k_{R1} k_{R2}}$	$-\frac{\lambda_{r+2}^2 a_{r+2}}{k_{R1} k_{R2}}$	$\frac{\lambda_{r+2}^2 b_{r+2} + \lambda_{r+2}^2 f_{r+2}}{k_{R1} k_{R2}}$	$\frac{B_{r1}-B_r}{2} - \frac{B_{r3}-B_r}{2}$

$$\textcircled{3} - M_r + M_{r3} - S_{r3} l_{r3} = S_{r1} l_{r1}, \textcircled{4} - M_r + M_{r1} - S_{r1} l_{r1} = -S_{r2} l_{r2}, S_{r1}, S_{r2} \text{ は外力および基礎純彌りのせん断力} \quad \cdots \cdots (5)$$

2. 計算例およびむすび

2つの計算例を示した。図-4 は構造荷重とともに対称な直角ばかりである。はりの曲げこわさとねじりこわさを変化させた場合のたわみとねじり角を描いた。(基礎係数は一定)たわみにはその変化の影響が少ないがねじれ角には比較的多くその影響が現われている。中央スパンの基礎係数をおよび k_r が消失した場合も記した。

図-5 も荷重構造とともに對称な折れたはりについて折れ角 $0^\circ, 30^\circ, 60^\circ, 90^\circ$ の場合についてたわみとねじり角について示したがたわみは μ の変化による影響はほとんど現われてないがねじり角には大きくその影響がでている。

いずれの場合も曲げたわみはばかりの曲げこわさや基礎係数さらに折れ角の変化によつて影響が少ないとわかる。

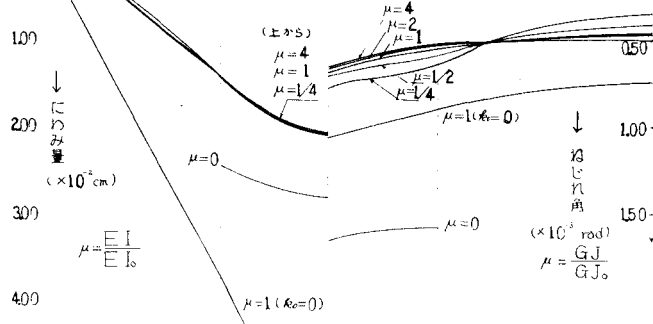
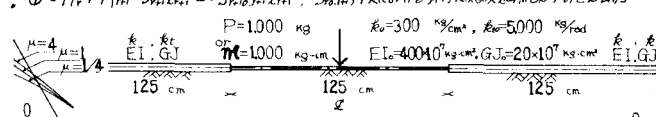


図-4 直角ばかりのたわみおよびねじれ角

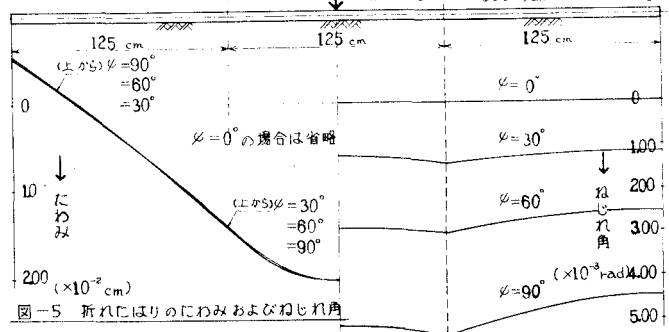
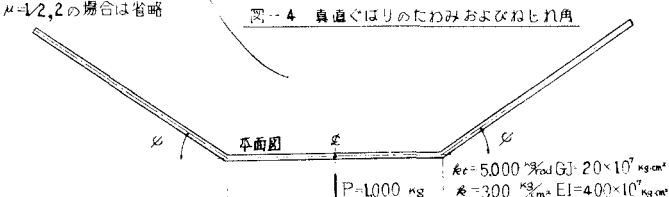


図-5 折れたばかりのたわみおよびねじれ角